

УДК 541.1:620.181:621.762

**Т.І. Братаніч, В.В. Скороход, О.В. Кучерявий,  
Л.І. Копилова, М.О. Крапівка**

Інститут проблем матеріалознавства ім. І.М. Францевича НАН України  
м. Київ, вул. Кржижановського, 3, Україна, 03680

## **ОСОБЛИВОСТІ ВЗАЄМОДІЇ ІНТЕРМЕТАЛІДІВ $Ti_2Ni$ ТА $TiNi$ ІЗ ВОДНЕМ ТА СИНТЕЗ НАНОСТРУКТУРНИХ КОМПОЗИТІВ НА ЇХНІЙ ОСНОВІ**

**Ключові слова:** інтерметалід  $Ti_2Ni$ , деструктивне гідрування

Досліджено взаємодію інтерметаліду  $Ti_2Ni$  з воднем у діапазоні температур 298–973 К під тиском водню 1,0 МПа. Об'єктами були шліфовані пластини  $Ti_2Ni$ . Проведено термодинамічний аналіз реакцій прямого й деструктивного гідрування  $Ti_2Ni$  за температур 298–973 К та встановлено термодинамічний пріоритет реакції деструктивного гідрування. Експериментально показано, що за температур 298 та 373 К відбувається реакція прямого гідрування, причому максимальне наводнювання призводить до утворення гідриду  $Ti_2NiH_{3.6}$ . Це пояснюється високою швидкістю реакції прямого гідрування за низьких температур порівняно зі швидкістю деструктивного гідрування.

Установлено послідовність фазових перетворень у процесі деструктивного гідрування  $Ti_2Ni$  за температур 573–973 К. Структурно-фазовий механізм деструктивного гідрування  $Ti_2Ni$  полягає в розупорядкуванні структури вихідного інтерметаліду, селективному гідруванні титану зі складу вихідного інтерметаліду та утворенні нових інтерметалідних фаз, збагачених нікелем, за схемою  $Ti_2Ni > TiNi > TiNi_3$ , згідно з діаграмою стану  $Ti-Ni$ .

### **Частина I. Фазові перетворення $Ti_2Ni$ у процесах гідрування**

Інтерметаліди  $Ti_2Ni$  та  $TiNi$  є акумуляторами водню й можуть використовуватися в електрохімічних нікель-металогідридних джерелах живлення. Термоводнева обробка може змінювати їхню мікроструктуру та поліпшувати механічні властивості. Взаємодію інтерметаліду  $Ti_2Ni$  із газоподібним воднем досліджували в роботах [1–6]. При цьому було реалізовано реакції прямого гідрування  $Ti_2Ni$  за температур, нижчих від 423 К, до складу  $Ti_2NiH_{3.3}$  [1–4] та розпаду прямого гідриду  $Ti_2NiH_{1.4}$  за температур, вищих від 523 К [2–4]. Досліджено ізотерму рівноваги в системі  $Ti_2Ni-H_2$  за температури 423 К [1] та ізобару рівноваги під тиском водню 0,1 МПа [2], які свідчать про послідовне утворення чотирьох гідридних фаз  $Ti_2NiH_{0.5}$ ,  $Ti_2NiH$ ,  $Ti_2NiH_2$ ,  $Ti_2NiH_{2.5}$ . Установлено, що в гідридах  $Ti_2NiH_{0.5}$  та  $Ti_2NiH$  водень розміщено в октаедричних пустотах титану. Автори роботи [3] зазначили високу швидкість прямого гідрування  $Ti_2Ni$ . Так, наводнювання зразка до складу  $Ti_2NiH_{3.3}$  за кімнатної температури під тис-

© Т.І. БРАТАНІЧ, В.В. СКОРОХОД,  
О.В. КУЧЕРЯВИЙ, Л.І. КОПИЛОВА,  
М.О. КРАПІВКА, 2010

ком водню 4,0–6,0 МПа завершилося через 15–20 хв. Однак одержані гідридні фази на основі  $Ti_2Ni$  виявилися метастабільними й за температур, вищих від 523 К, розкладалися до  $TiH_2$  та гідридів інтерметалідних фаз, збагачених нікелем. Це перешкоджає застосуванню  $Ti_2Ni$  у гідридних акумуляторах водню, призначених для багатоциклового використання.

У роботі [2] досліджували також взаємодію  $Ti_2Ni$  з воднем за температури 773 К під тиском водню 13 МПа. Продуктами реакції були гідрид титану та інтерметалід  $TiNi_3$ . Очевидно, за за значених термобаричних умов було реалізовано реакцію деструктивного гідрування  $Ti_2Ni$  та одержано її продукти. Однак механізм, кінетику й структуру продуктів реакції досліджено не було.

Механізм і кінетику деструктивного гідрування  $TiNi$  детально вивчено в роботах [7, 8].

Метою цієї роботи є дослідження фазових перетворень  $Ti_2Ni$  у процесі деструктивного гідрування. Для визначення найімовірнішого шляху взаємодії  $Ti_2Ni$  із воднем було обраховано вільні енергії Гіббса для реакцій прямого та деструктивного гідрування  $Ti_2Ni$  у температурному діапазоні від 298 до 973 К (табл. 1). Термодинамічні властивості сполук узято з праць [9, 10]. Як видно з таблиці, в усьому досліджуваному діапазоні температур обидві реакції термодинамічно дозволені. Значення вільних енергій Гіббса для реакції деструктивного гідрування менші порівняно з такими для реакції прямого гідрування. Це означає, що деструктивне гідрування є термодинамічно пріоритетною реакцією.

Вихідний сплав  $Ti_2Ni$  одержували плавленням у дуговій печі МІФІ-9-3 в атмосфері високочистого аргону. Матеріалами для шихти були йодидний титан та електролітичний нікель у масових співвідношеннях відповідно 62Ti та 38Ni. Для зняття напружень і гомогенізації складу зливки було

відпалено у вакуумі за 1073 К протягом 4 год. Рентгенофазовий аналіз відпалених сплавів підтвердив присутність тільки фази  $Ti_2Ni$ .

Об'єктами експериментального дослідження були напівкруглі пластини плавленого  $Ti_2Ni$  діаметром 13 мм і завтовшки 1 мм, які нарізали електроіскровим способом із циліндрових зливків. На плоскопаралельних поверхнях пластин було виготовлено шліфи безпосередньо перед початком гідридних експериментів із метою усунення оксидних плівок і полегшення активації процесу гідрування. Зразки заздалегідь активували нагріванням у форвакуумі 0,1 Па й захищали від окислення за допомогою засипки РЗМ-вмісного сплаву (сполуки, що містить рідкісноземельні метали)  $Mn_{0,5}La_{0,5}Ni_4Co$  з високою спорідненістю до кисню.

Структурно-фазовий механізм деструктивного гідрування  $Ti_2Ni$  досліджували шляхом послідовного дрібнокркового наводнювання зразків за постійних температур 293, 373, 573, 773, 973 К під тиском водню 1,0 МПа із подальшим рентгенофазовим аналізом продуктів взаємодії  $Ti_2Ni$  із воднем на дифрактометрі ДРОН-2 в  $CuK_\alpha$ -випромінюванні. Для виготовлення серії зразків із дедалі більшою кількістю поглинутого водню в кожному експерименті використовували нові пластини  $Ti_2Ni$ .

На рис. 1 наведено дифрактограми вихідного  $Ti_2Ni$  та продуктів його взаємодії з воднем за температур 293 та 373 К під тиском водню 1,0 МПа протягом відповідно 960 та 240 год. Із рис. 1б видно, що після взаємодії  $Ti_2Ni$  з воднем за кімнатної температури утворився його гідрид. Кристалічна решітка цього гідриду має гранецентровану кубічну структуру (ГЦК-структур) та ідентична решітці вихідного інтерметаліду, але зі збільшеним на 6% параметром  $a$  ( $a = 11,98 \text{ \AA}$ ). За допомогою даних робіт [1, 3, 11] установле-

Таблиця 1. Вільні енергії Гіббса ( $\Delta G$ ) для реакцій гідрування інтерметаліду  $Ti_2Ni$

№ п/п	Реакції	- $\Delta G$ , кДж/моль за $T$ , К			
		298	473	773	973
1	$Ti_2Ni + H = Ti_2NiH$ (пряме гідрування)	187,0	173,3	149,8	134,1
2	$3/10Ti_2Ni + H = 1/2TiH_2 + 1/10TiNi_3$ (деструктивне гідрування)	233,3	212,1	175,7	151,5

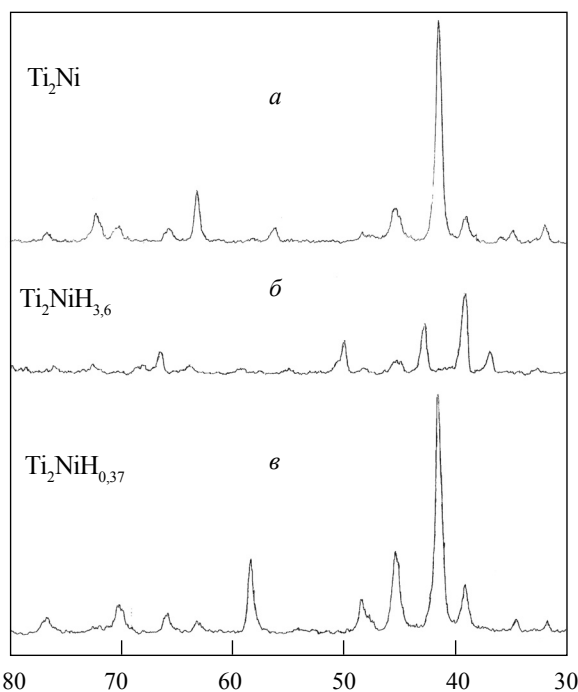


Рис. 1. Дифрактограми вихідного  $\text{Ti}_2\text{Ni}$  (а) та продуктів його взаємодії з воднем за температур 298 (б) та 373 К (в) під тиском водню 1,0 МПа

но, що приблизний склад гідриду відповідає формулі  $\text{Ti}_2\text{NiH}_{3.6}$ . Оскільки за кімнатної температури значення вільної енергії Гіббса для реакції деструктивного гідрування  $\text{Ti}_2\text{Ni}$  менше, аніж для прямого гідрування (табл. 1), то одержаний гідрид  $\text{Ti}_2\text{NiH}_{3.6}$  є метастабільним. Очевидно, швидкість деструктивного гідрування  $\text{Ti}_2\text{Ni}$  за кімнатної температури лімітує реалізацію процесу деструктивного гідрування в умовах конкуренції з реакцією прямого гідрування, швидкість якої вища.

Дифрактограма зразка після гідрування за температури 373 К (рис. 1в) демонструє незначне розширення вихідної кристалічної решітки  $\text{Ti}_2\text{Ni}$  на 0,6% ( $a = 11,37 \text{ \AA}$ ), що відповідає складу прямого гідриду  $\text{Ti}_2\text{NiH}_{0.37}$ .

На рис. 2 наведено дифрактограми продуктів взаємодії  $\text{Ti}_2\text{Ni}$  із воднем за температури 573 К під тиском водню 1,0 МПа. Як видно з рисунка, після 24 год наводнювання фазовий склад відповідає вихідному інтерметалідові, а після 72 год взаємодії  $\text{Ti}_2\text{Ni}$  із воднем зареєстровано аморфні

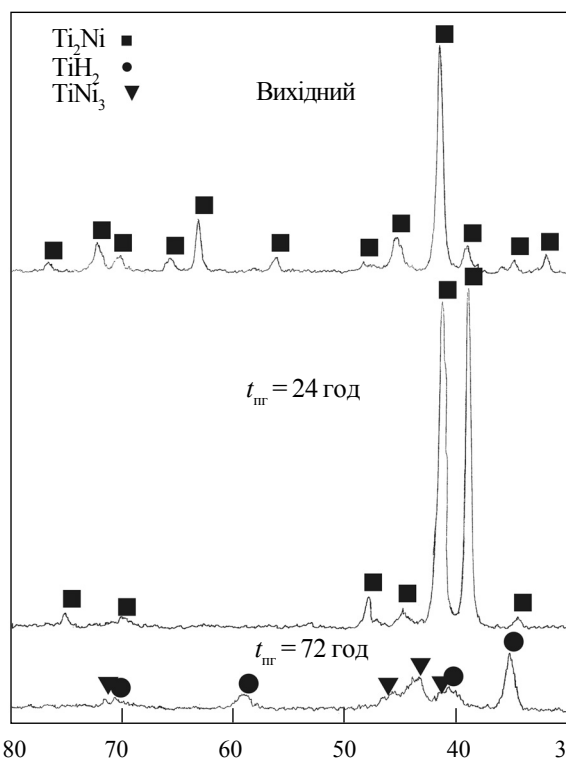


Рис. 2. Фазові перетворення у процесі взаємодії  $\text{Ti}_2\text{Ni}$  із воднем за температури 573 К під тиском водню 1,0 МПа

продукти деструктивного гідрування, а саме гідрид титану та інтерметалід  $\text{TiNi}_3$ . Отже, за 573 К реалізовано деструктивне гідрування  $\text{Ti}_2\text{Ni}$ .

Ми також досліджували гідрування  $\text{Ti}_2\text{Ni}$  за температури 973 К. Фазовий склад зразка, гідратованого протягом 72 год (рис. 3), відповідає суміші фаз  $\gamma$ -гідриду титану (ГЦК) та інтерметалідів  $\text{TiNi}_3$  і  $\text{TiNi}$  (аустеніту), які є продуктами деструктивного гідрування  $\text{Ti}_2\text{Ni}$ . Зменшений на 3,7% ( $a = 4,285 \text{ \AA}$ ) параметр решітки ГЦК-гідриду титану свідчить про незавершеність процесу гідрування титану. Одночасна присутність у продуктах деструктивного гідрування  $\text{Ti}_2\text{Ni}$  інтерметалідів  $\text{TiNi}$  та  $\text{TiNi}_3$  говорить про послідовність перетворення інтерметалідних фаз залежно від кількості прогідрованого титану та про незавершеність реакції.

На рис. 4 зображені дифрактограми продуктів взаємодії  $\text{Ti}_2\text{Ni}$  з воднем за температури 773 К

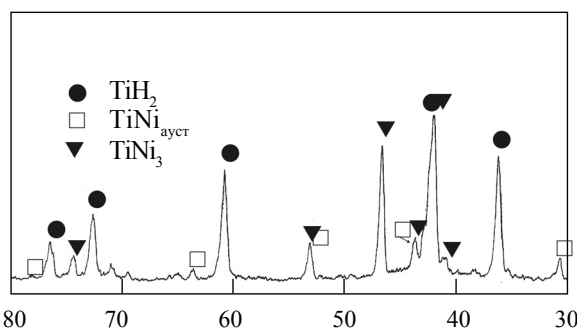


Рис. 3. Продукти деструктивного гідрування  $\text{Ti}_2\text{Ni}$  за температури 973 К під тиском водню 1,0 МПа протягом 72 год

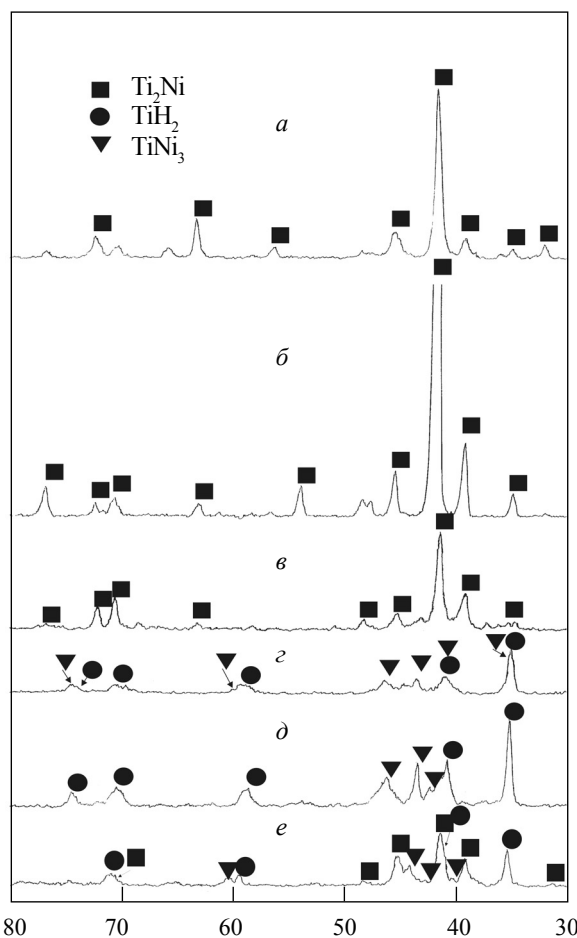


Рис. 4. Фазові перетворення у процесах деструктивного гідрування та рекомбінації  $\text{Ti}_2\text{Ni}$ : а – вихідний інтерметалід; б, в, г, д – деструктивне гідрування за температури 773 К під тиском водню 1,0 МПа відповідно протягом 1; 2,5; 4 і 24 год; е – рекомбінація у водні

під тиском водню 1,0 МПа. Після 2,5 год взаємодії зареєстровано зменшення інтенсивності піків Брегга, що пов’язано з розупорядкуванням структури частини вихідного інтерметаліду. Після 4 год гідрування зареєстровано аморфний інтерметалід  $\text{TiNi}_3$  та  $\gamma$ -гідрид титану ГЦК-структурі з параметром  $a = 4,43 \text{ \AA}$ . Після 24 год витримування зразка у водні одержано кінцеві застиглі продукти деструктивного гідрування –  $\text{TiNi}_3$  та гідрид титану (рис. 4д).

Таким чином, деструктивне гідрування  $\text{Ti}_2\text{Ni}$  відбувається шляхом розупорядкування вихідної структури інтерметаліду та послідовного утворення аморфних і кристалічних фаз гідриду титану та забагачених на нікель інтерметалідів  $\text{TiNi}_3$ , згідно з діаграмою стану  $\text{Ti-Ni}$ . Спостереження процесу деструктивного гідрування за температури 973 К порівняно з 773 К спричинене окисненням поверхні зразка домішками у водні.

Проведено рекомбінацію вихідного інтерметаліду  $\text{Ti}_2\text{Ni}$  за температури 1073 К у водневому середовищі протягом 4 год із продуктів його деструктивного гідрування  $\text{TiH}_2$  і  $\text{TiNi}_3$ , одержаних за температури 773 К під тиском водню 1,0 МПа упродовж 24 год. Із дифрактограмами продуктів рекомбінації (рис. 4е) видно, що утворився інтерметалід  $\text{Ti}_2\text{Ni}$  та зареєстровано залишки гідриду титану  $\gamma\text{-TiNi}_3$ . Це підтверджує можливість рекомбінації  $\text{Ti}_2\text{Ni}$  у водні.

На основі одержаних результатів можна зробити такі висновки.

Термодинамічним аналізом установлено, що реакції прямого та деструктивного гідрування інтерметаліду  $\text{Ti}_2\text{Ni}$  дозволено в діапазоні температур 298–973 К, причому реакція деструктивного гідрування є термодинамічно пріоритетною.

Взаємодія  $\text{Ti}_2\text{Ni}$  з воднем за температур 298 та 373 К відбувається за реакцією прямого гідрування з утворенням гідридів  $\text{Ti}_2\text{NiH}_x$ . Це пояснюється тим, що швидкість прямого гідрування вища за швидкість деструктивного гідрування у цьому температурному діапазоні, що забезпечує пріоритетність реакції прямого гідрування.

Установлено структурно-фазовий механізм деструктивного гідрування  $\text{Ti}_2\text{Ni}$ . Він полягає в розупорядкуванні структури вихідного інтерметаліду, вибірковому гідруванні титану зі складу

вихідного матеріалу та послідовному утворенні аморфних і кристалічних фаз збагачених на нікель інтерметалідів за схемою  $Ti_2Ni \rightarrow TiNi \rightarrow TiNi_3$ , згідно з діаграмою стану  $Ti-Ni$ .

Исследовано взаимодействие интерметаллида  $Ti_2Ni$  с водородом в диапазоне температур 298–973 К под давлением водорода 1,0 МПа. Объектами были шлифованные пластины  $Ti_2Ni$ .

Проведен термодинамический анализ реакций прямого и деструктивного гидрирования  $Ti_2Ni$  при температурах 298–973 К и установлен термодинамический приоритет реакции деструктивного гидрирования. Экспериментально показано, что при температурах 298 и 373 К происходит прямое гидрирование, причем максимальное наводороживание приводит к образованию гидрида  $Ti_2NiH_{3,6}$ . Это объясняется высокой скоростью реакции прямого гидрирования при низких температурах в сравнении со скоростью деструктивного гидрирования.

Установлена последовательность фазовых превращений в процессе деструктивного гидрирования  $Ti_2Ni$  при температурах 573–973 К. Структурно-фазовый механизм деструктивного гидрирования  $Ti_2Ni$  состоит в разупорядочении исходной структуры интерметаллида, селективном гидрировании титана из состава исходного интерметаллида и образовании новых интерметаллических фаз, обогащенных никелем, по схеме  $Ti_2Ni \rightarrow TiNi \rightarrow TiNi_3$  в соответствии с диаграммой состояния  $Ti-Ni$ .

**Ключевые слова:** интерметаллид  $Ti_2Ni$ , деструктивное гидрирование

$Ti_2Ni$  interaction with hydrogen in temperature range of 298–973 K under hydrogen pressure of 1,0 MPa was investigated. Objects were polished plates of  $Ti_2Ni$ .

The thermodynamic analysis of  $Ti_2Ni$  direct and destructive hydrogenation reactions in temperature range of 298–973 K were carried out. The thermodynamic priority of destructive hydrogenation reaction was determinate. It is experimentally shown that direct hydrogenation reaction occurs at temperatures of 298 and 373 K, and maximum hydrogenating results in formation of  $Ti_2NiH_{3,6}$  hydride. Later is explained by higher reaction rate of direct hydrogenation in comparison with destructive hydrogenation rate at low temperatures.

The consequence of phase transformations in  $Ti_2Ni$  destructive hydrogenation process was ascertained at temperatures 573–973 K. The structural-phase mechanism of  $Ti_2Ni$  destructive hydrogenation consists in the structure disordering of initial

intermetallide, selective hydrogenation of titanium in the initial intermetallic constitution and forming of new nickel-enriched intermetallic phases, following the scheme  $Ti_2Ni \rightarrow TiNi \rightarrow TiNi_3$ .

**Key words:**  $Ti_2Ni$  intermetallide, destructive hydrogenation

1. Wasserstoff in intermetallischen Phasen am Beispiel des Systems Titan-Nickel-Wasserstoff / H. Buchner, M. Gutgarh, K.-D. Beccu, H. Sdfferer // Z. Metalkunde. – 1972. – **63**, N 18. – S. 497–500.
2. Mintz M.H., Hadari Z., Dariel M.P. Hydrogenation characteristics of  $Ti_2NiO_x$  compounds ( $0 \leq x \leq 0,5$ ) // J. Less-Common Metals. – 1979. – **63**, N 2. – P. 181–191.
3. Семененко К.Н., Вербецкий В.Н., Зонтов В.С. Взаимодействие  $Ti_2Ni$  с водородом // Журнал неорганической химии. – 1981. – **26**, № 10. – С. 2603–2605.
4. Падурец Л.Н., Соколова Е.И., Кост М.Е. Взаимодействие водорода с некоторыми сплавами и интерметаллическими соединениями титана // Журнал неорганической химии. – 1982. – **27**, № 6. – С. 1354–1357.
5. Maeland A.J. Investigation of some hydride systems // J. Less-Common Metals. – 1983. – **89**. – P. 173–182.
6. Взаимодействие спеченного интерметаллида  $Ti_2Ni$  с водородом / Антонова М.М., Ендржеевская С.Н., Шаблина А.Г. и др. // Порошковая металлургия. – 1984. – № 10. – С. 62–65.
7. Фазовые превращения и изменение структуры интерметаллида  $TiNi$  в процессах деструктивного гидрирования и рекомбинации / Братанич Т.И., Гетьман О.И., Добровольский В.Д. и др // Порошковая металлургия. – 2006. – № 11–12. – С. 87–93.
8. Братанич Т.И., Скорогод В.В. Исследование процесса деструктивного гидрирования порошковых интерметаллидных систем. Ч. 2. Скорость первого деструктивного гидрирования интерметаллида  $TiNi$  // Порошковая металлургия. – 2005. – № 1–2. – С. 73–79.
9. Термические константы веществ. Вып. VII, ч. 1 / Под ред. В.П. Глушко. – М.: ВИНТИ, 1972. – 370 с.
10. Колачев Б.А., Шалин Р.Е., Ильин А.А. Сплавы – накопители водорода: Справочник. – М.: Металлургия, 1995. – 384 с.
11. Numerical property physical data for metal hydrides utilized for hydrogenstorage / Swarterdruba Z.V., Carter Y.C., Kabau D.V. et al. // Proceedings of the 2-nd World Hydrogen Energy Conference, Zurich, Switzerland, 21–24 august, 1978, vol. 4. – P. 1973–2012.